

دراسة مرضية مقارنة لآفات المريء في الأغنام والأبقار الواردة إلى مجزرة الموصل

كرم هاشم الملاح

فرع الأمراض وأمراض الدواجن، كلية الطب البيطري، جامعة الموصل، الموصل، العراق

الخلاصة

تم جمع ١٣٣ عينة مريء من الأغنام و ٧٢ عينة مريء من الأبقار خلال الفترة من ١ / ١٢ / ٢٠٠٨ إلى ٩ / ١ / ٢٠٠٨ بعد ذبحها في مجزرة الموصل للتحري عن وجود الآفات المرضية فيها عيانياً ومجهرياً ولمقارنة أنواع الآفات ونسبة ظهورها بين النوعين. لوحظت الآفات المرضية في ٧٠ % من العينات المفحوصة عند الأغنام و ٤٥ % من العينات عند الأبقار. تمثلت هذه الآفات بظهور أضطرابات الأيض الخلوي متمثلة بنخر زنker، التكس الفجوي الظهاري والإنسلاخ الظهاري بالنسبة ٦٠,٩ %، ٢,٢ %، ٩,٦ %، ٢,٨ % على التوالى في الأغنام وبالنسبة ٢٣,٦ %، ٩,٧ %، ٢,٧ % على التوالى في الأبقار، وظهرت أضطرابات الدوران متمثلة بفرط الدم و انتزفة حبرية و انتزفة منتشرة والوذمة بالنسبة ٣٤,٥ %، ٢,٢ %، ١,٥ % على التوالى عند الأغنام وأقتصر ظهورها في الأبقار على فرط الدم بنسبة ٢٩,١ % و انتزفة منتشرة بنسبة ١,٣ %، ولوحظت إضطرابات التمو والتتطور الخلوي متمثلة بفرط التنسج الظهاري وفرط التنسج للنسيج الضام بالنسبة ٦,٧ %، ٣,٦ % في الأغنام وفي الأبقار بالنسبة ١٩,٤ %، ٢,٧ % على التوالى فضلاً عن فرط التقرن بنسبة ١١,١ % و الحؤول بنسبة ١,٣ % وأقتصر ظهور الانتهاب على التهاب عضلات المريء الحمضي بنسبة ٢٧,٨ % في الأغنام و ١١,١ % في الأبقار، وسجلت أضطرابات الخضاب متمثلة باليرقان بنسبة ٢٣,٣ % في الأغنام و ٩,٧ % في الأبقار فضلاً عن الميلانية في الأبقار بنسبة ١,٣ %، كما لوحظت الأصابات الطفiliية متمثلة بطيفلي المكيسات العضلية بنسبة ٤٣,٦ % في الأغنام و ١٨ % في الأبقار فضلاً عن ظهور إصابة بالديدان الأسطوانية في مريء الأغنام بنسبة ٤,٥ % من العينات المفحوصة.

Comparative pathological study of esophageal lesions in sheep and cattle slaughtered at Mosul slaughterhouse

K. H. Al-Mallah

Department of Pathology and Poultry Diseases, College of Veterinary Medicine, University of Mosul, Mosul, Iraq

Abstract

Collection of 133 esophagus samples were performed from sheep, other 72 esophagus samples were collected from cattle slaughtered at mosul slaughter house for detection of gross and histopathological lesions, and to compare the types and percentages of occurrence of the detected lesions between the two species. Pathological lesions were demonstrated at 70% of examined samples in sheep and 45% of samples in cattle. Those lesions were represented by appearance of disturbances of cell metabolism which included zinker necrosis, epithelial vacuolar degeneration and epithelial sloughing at the ratios 60.9%, 2.2% and 8.2% at sequence in sheep and at ratios 23.6%, 9.7% and 2.7% at sequence in cattle. Circulatory disturbances also appeared as hyperemia, peticheal and extensive hemorrhages and edema at ratios 34.5%, 2.2%, 1.5% and 1.5% respectively in sheep and manifested in cattle by hyperemia 29.1% and extensive hemorrhage 1.3%. Disturbances of growth and cell adaptations were noticed as epithelial and connective tissue hyperplasia at ratios 3%, 6.7% respectively in sheep and 19.4%, 2.7% respectively in cattle in addition to hyperkeratosis 19.4% and metaplasia 1.3% in cattle. Inflammations represented by eosinophilic myositis at ratios 27.8% in sheep and 11.1% in cattle. Disturbances of pigmentation also reported represented by jaundice at 23.3% of samples in sheep and 9.7% in cattle, also melanosis in cattle were observed at 1.3% of samples. Parasitic infestations appeared as sarcocyst in esophageal muscles at 43.6% of samples in sheep and 18% of samples in cattle, in addition to nematode infestation in sheep esophagus at 4.5% of examined samples.

المقدمة

الفحص المرضي العياني والنسيجي

تم إجراء الفحص المرضي العياني للعينات بعد أيصالها للمختبر مباشرة وسجلت التغيرات المرضية العيانية الملاحظة وتم تصويرها. أخذت بعدها عينات للفحص المرضي النسيجي وحفظت في محلول الفورمالين الدارئ المتعادل Neutral buffer وتم تقليمها trimming وتم تقطيعها formaline وتم صبها في قوالب شمعية وقطعها بجهاز المشراح إلى شرائح التجفيف بالكتولات والترويق بالزيلول ومررت بشمع البارافين وتم صبها في قوالب شمعية وقطعها بجهاز المشراح إلى شرائح بسمك ٦-٤ ميكرومتر وتم صبها بالصبغة الروتينية هيماتوكسيلين وأيزين (٦). وفحست تحت المجهر الضوئي وسجلت التغيرات المرضية النسيجية وتم تصويرها باستخدام الكاميرا الرقمية نوع Sony يابانية المنشأ.

التحليل الأحصائي

تم تقدير علاقة الارتباط بين الأفات المختلفة عن طريق تحويل البيانات الوصفية إلى رقمية باستخدام طريقة صفر واحد، أي التعبير عن وجود الأفة على العينة بالرقم ١ وعدم وجودها بالرقم ٠٠. وتم أيجاد معاملات الارتباط فيما بينها (٧)، عند جميع العينات تحت مستويات معنوية تراوحت من $P \leq 0.8$ حتى $P \leq 0.0001$. باستخدام البرنامج الأحصائي الإلكتروني (SAS) (٨).

النتائج

لقد أظهر الفحص المرضي العياني والنسيجي وجود الأفات المرضية في ٩٣ عينة من ضمن ١٣٣ عينة مريء في الأغnam بنسبة أصابة كلية ٧٠٪، في حين لم تلاحظ أي أفة في ٤٠ عينة كانت سليمة عيانياً ونسيجياً. ولوحظت الأفات المرضية في ٣٣ عينة من ضمن ٧٢ عينة مريء في الأبقار بنسبة أصابة كلية ٤٥٪ ولم تلاحظ في ٣٩ عينة كانت سليمة عيانياً ونسيجياً.

تمثلت الأفات المرضية في مريء الأغnam بوجود إضطرابات الأيض الخلوي متمثلة بنخر زنker في الألياف العضلية للمريء بنسبة ٦٠,٩٪ في العينات المفحوصة والتخلص الفجوي في ظهارة المريء بنسبة ٢٪ وأنسلاخات في الظهارة المريئية بنسبة ٨,٢٪، ولوحظت إضطرابات الدوران متمثلة بفرط الدم في الأوعية الدموية بنسبة ٤٥٪ من العينات المفحوصة والأذنفة الحبرية على الغشاء المخاطي أو المصلي للمريء بنسبة ٢,٢٪ والزنزيف المنتشر والوذمة بين الألياف العضلية بنسبة ١,٥٪ لكل منها. بينما لوحظت إضطرابات النمو متمثلة بفرط التنسج الظهاري بنسبة ٦٪ وفرط التنسج وتكاثر النسيج الضام من الطبقة تحت الظهارة ليمتد إلى داخل التجويف المريئي بنسبة ٦,٧٪ من العينات، أما الالتهاب فقد ظهر بشكل طفيف تمثل بالتهاب العضلات المريئية.

المرئ جزء من الجهاز الهضمي بشكل أنبوب عضلي غشائي يمتد من البلعوم إلى المعدة وينحرف أثناء مساره عن المنصف إلى اليسار في داخل الرقبة وإلى يمين قوس الأبهري وظرياً لنقعر الرغامي في الصدر، يتراوح طوله من ٩٠-١٠٥ سم في الأبقار بينما يبلغ حوالي ٤٥ سم في الأغنام (١). يتكون جدار المرئ من أربع طبقات مميزة هي المخاطية وتحت المخاطية والعضلية الخارجية Musclaris externa واللégive Fibrosa أو Advantatia (٢).

يقوم المرئ بوظيفته الرئيسية في نقل الغذاء من البلعوم إلى المعدة بواسطة تقلصات منتظمة تعرف بالتحوي Peristalsis (٣). لقد سجلت العديد من الأفات المرضية في المرئ في أنواع مختلفة من الحيوانات وبضمها المجترات شملت التشوهات الخلقية كال Congenital duplication، الالاتسج Esophagial diverticula والناسور التنفسى المريئى Segmental aplasia، الرتج المريئى esophagorespiratory fistula والالتهابات بأنواعها المختلفة التي تنتج عن مسببات فيزيائية وكيميائية أو باiological كالحمات والجراثيم والفطريات، فضلاً عن الأورام الحميدة والخبيثة التي تصيب هذا العضو (٤). إن هذه الأفات المختلفة يمكن أن ينتج عنها حالات سريرية مميزة عند المجترات المصابة كأنسداد المرئ وتعرّض التجشؤ والنفاخ وصعوبة البلع وفقدان الشهية (٥). والتي يمكن أن تنبه إلى حدوث هذه الأفات. إن قلة الاهتمام بهذا العضو في الحيوانات المجترة من حيث الاستهلاك البشري كغذاء صرف عنه الكثير من الجهود البحثية لتقييم انتشار الأفات المرضية وكثافة حدوثها في الحيوانات الحقلية، ولذلك فقد صممت الدراسة الحالية لتشخيص الأفات المرضية للمرئ ونسب حدوثها وأرتباطها فيما بينها في كل من الأبقار والأغنام الواردة للذبح في مجررة الموصل ومقارنة أنواع الأفات ونسبها بين النوعين.

المواد وطرق العمل

جمع العينات

تم جمع ١٣٣ عينة من الأغnam و ٧٢ عينة من الأبقار الواردة إلى مجررة الموصل، تراوحت أعمارها بين ٢,٥-١ سنة من العمر بعد ذبحها مباشرة، تمثلت العينة بالمرئ كاملاً غير مفتوح من منطقة الذبح وحتى المقصة الفوادية (منطقة الاتصال بالشبكة). وضعت كل عينة في كيس بلاستيكي منفصل وتم ترقيتها وحفظت بالثلج مباشرة وتم نقلها للمختبر. تم جمع كل العينات من خلال عدة زيارات للمجزرة ضمن الفترة من ١/١٢/٢٠٠٨ إلى ١٢/١/٢٠٠٩.

٦٤٣٪ من العينات المفحوصة فضلاً عن الأصابة بالديدان الأسطوانية Nematoda لم يتم تحديد جنسها، والتي لوحظت عيانياً ونسيجياً في الطبقتين المخاطية وتحت المخاطية والجوف المريئي بنسبة ٤٤,٥٪ من العينات. الصور (١٠-١). جدول (١).

الحمضي المرتبط بفرط الدم بنسبة ٢٧,٨٪ من العينات حيث يمكن تصنيفه كالالتهاب حمضي تبعاً للخلية الأكثر شيوعاً في النضحة التي تحوي كذلك على الخلايا اللمفية، أما إضطرابات الخضاب فقد لوحظت متمثلة باليرقان الذي لوحظ عيانياً متمثلة بأصفار الأغشية المخاطية والمصلية للمريء بنسبة ٢٣,٣٪ من العينات، وظهرت الأصوات الطفيفية ممثلة بالأصابة بطيفي المكيسات العضلية في الطبقات العضلية للمريء بنسبة

جدول (١): يبين انواع الافات المرضية وتصنيفها ونسب حدوثها في مرئ الاغنام.

تصنيف الأفة	نوع الأفة	رمز الأفة	عدد العينات	الحالات	النسبة المئوية لظهور الأفة ضمن العدد الكلي للعينات المفحوصة
		على الأفة	الحاوية	ضمن الحالات المصابة	النسبة المئوية لظهور الأفة ضمن العدد الكلي للعينات المفحوصة
أضطرابات الأيض الخلوي	نخر زنker	Z	٨١	٨٧	٦٠,٩
	التكتس الفجوي الظهاري	V	٣	٣,٢	٢,٢
	الأنسلاخ الظهاري	E.S	١١	١١,٨	٨,٢
	فرط الدم	H	٤٦	٤٩,٤	٣٤,٥
أضطرابات الدوران	أنزفة البحرية	P.H	٣	٣,٢	٢,٢
	أنزفة منتشرة	EX.H	٢	٢,١	١,٥
	الوذمة	O	٢	٢,١	١,٥
أضطرابات النمو	فرط التنسج الظهاري	EP.H	٤	٤,٣	٣
	فرط التنسج للنسيج الضام	CON.H	٩	٩,٦	٦,٧
الالتهاب	الالتهاب الحمضي	EOS	٣٧	٣٩,٧	٢٧,٨
أضطرابات الخضاب	اليرقان	J	٣١	٣٣,٣	٢٣,٣
	المكيسات العضلية	S	٥٨	٦٢,٣	٤٣,٦
الأصوات الطفيفية	الديدان الأسطوانية	N	٦	٦,٤	٤,٥

العدد الكلي للعينات المفحوصة = ١٣٣، العدد الكلي للعينات المظهرة للافات المرضية = ٩٣.

النسبة المئوية لظهور الافات المرضية ضمن العدد الكلي للعينات المفحوصة = ٧٠٪.

مجموع اعداد العينات المظهرة لكل نوع من الافات لا يمثل العدد الكلي للعينات المظهرة للافات المرضية بسبب ظهور اكثر من نوع من الافات في العينة الواحدة.

بنسبة ٢٧٪ فيما لوحظت إضطرابات الدوران متمثلة بفرط الدم بنسبة ٢٩,١٪ والتزيف المنشر بنسبة ١١,٣٪ من العينات المفحوصة، وسجلت إضطرابات نمو وتطور الخلية متمثلة بفرط التنسج الظهاري وفرط الثقرن بنسبة ١٩,٤٪ لكل منهما وفرط التنسج للنسيج الضام من الطبقة تحت الظهارية بنسبة ٢,٧٪ والحوالون بنسبة ١,٣٪. وظهرت الاستجابة للالتهابية البسيطة متمثلة بالالتهاب الحمضي بنسبة ١١,١٪، بينما ظهرت إضطرابات الخضاب متمثلة باليرقان الذي لوحظ بنسبة ٩,٧٪ من العينات المفحوصة والميلانية في حالة واحدة بنسبة ١,٣٪ وأقتصر ظهور الإصوات الطفيفية على الأصابة بطيفي المكيسات العضلية بنسبة ١٨٪ من العينات. الصور (١١-١٤). جدول (٣).

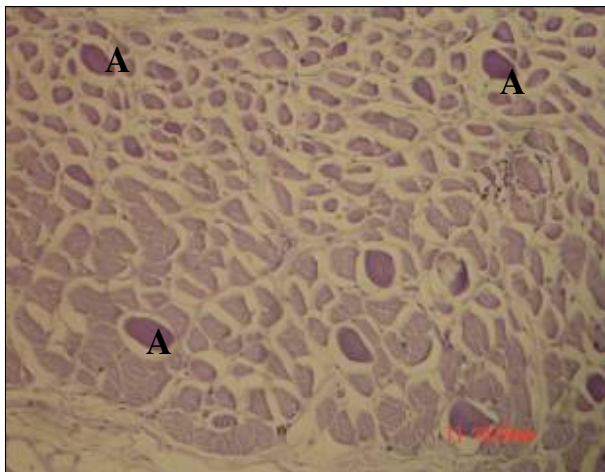
لقد بينت نتائج ظهور الافات في مرئ الأغنام وجود علاقة أرتباط عالية بين حدوث التكتس الفجوي مع كل من الوذمة وفرط التنسج والأنسلاخ الظهاري وكذلك بين حدوث الأنسلاخ الظهاري وظهور الديدان الأسطوانية وفرط التنسج للنسيج الضام والأنزفة البحرية وأيضاً بين فرط الدم والالتهاب الحمضي وبين الالتهاب الحمضي والأصابة بداء المكيسات العضلية وكذلك بين فرط التنسج للنسيج الضام والديدان الأسطوانية. جدول (٢).

وفي الأبقار تمثلت الافات المرضية في المريء بوجود إضطرابات الأيض الخلوي متمثلة بنخر زنker في الألياف العضلية للمريء بنسبة ٢٣,٦٪ من العينات المفحوصة والتكتس الفجوي الظهاري بنسبة ٩٧٪ والأنسلاخ الظهاري

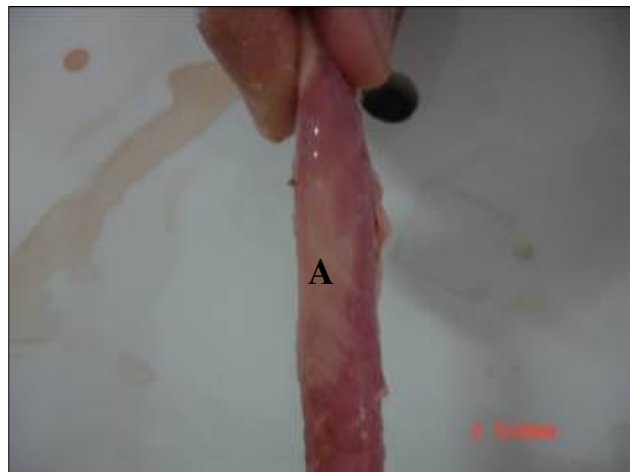
جدول (٢): يوضح علاقة الارتباط بين الافات المختلفة ضمن عينات المريء المصابة في الاغنام (معبر عنها بمعامل الارتباط ومستوى المعنوية).

N	S	J	EOS	CON. H	EP.H	O	EX.H	P.H	H	E.S	V	Z	
***** 0.0501	0.0169	0.0327	0.0693	0.0003	0.0735	0.0633	0.1878	0.0633	0.0656	0.0196	0.0633	0.0 1.0	Z
***** 0.0479	0.0162	0.1354	0.2246	0.0596	0.8612	1.0	0.0270	0.3111	0.1845	0.4984	0.0 1.0	V	
* 0.7170	0.0591	0.2020	0.1784	0.6684	*	0. 4147	0.4984	0.0543	0.4984	0.3702	0.0 1.0	E.S	
** 0.2654	0.4133	0.2842	0.6898	0.3308	0.1082	0.1845	0.1466	0.1845	0.0 1.0	H			
* 0.4475	0.1094	0.0082	0.0240	0.3519	0.2612	0.3111	0.0207	0.0 1.0	P.H				
***** 0.0389	0.1908	0.0449	0.1205	0.0485	0.0314	0.0270	0.0 1.0	EX.H					
***** 0.0479	0.0162	0.1354	0.2246	0.0597	0.8612	*	0.0 1.0	O					
***** 0.0556	0.0552	0.0464	0.2608	0.0693	0.0 1.0	EP.H							
* 0.8023	0.0460	0.0147	0.0311	0.0 1.0	CON. H								
***** 0.0346	0.4953	0.2355	0.0 1.0	EOS									
***** 0.1032	0.4444	0.0 1.0	J										
***** 0.1032	0.0 1.0	S											
0.0 1.0	N												

- ١- عدد العينات = ٩٣
 ٢- القيم = معامل الارتباط
 اعلى قيمة لمعامل الارتباط = ١
 اقل قيمة لمعامل الارتباط = ٠
 ٣- مستوى المعنوية يظهر كالتالي:
 غير موجود = الارتباط غير معنوي
 %١٠٠ = ارتباط كامل
 * = ارتباط معنوي عند ($P \leq 0.0001$)
 ** = ارتباط معنوي عند ($P \leq 0.01$)
 *** = ارتباط معنوي عند ($P \leq 0.05$)
 **** = ارتباط معنوي عند ($P \leq 0.5$)
 ***** = ارتباط معنوي عند ($P \leq 0.8$)
 ٤- كلما اقترب معامل الارتباط من القيمة ١ وانخفضت مستوى المعنوية كانت علاقة الارتباط اعلى
 ٥- المربعات المظللة تمثل اعلى (١١) علاقة ارتباط بين الافات



صورة (٢): مقطع في الطبقات العضلية لمريء الأغنام يوضح نخر زنker في الألياف العضلية متمثلًا بفقدان التفاصيل الخلوية والتحول إلى كثرة زجاجية متجانسة تصطبغ بشدة بصبغة الأيوزين (A). الصبغة H&E قوة التكبير X 165.



صورة (١): جزء من مريء الأغنام يوضح الشكل العياني لنخر زنker في عضلات المريء متمثلًا بمنطقة بيضاء متجانسة (A).

جدول (٣): يبين انواع الافات المرضية وتصنيفها ونسب حدوثها في مرئ الابقار.

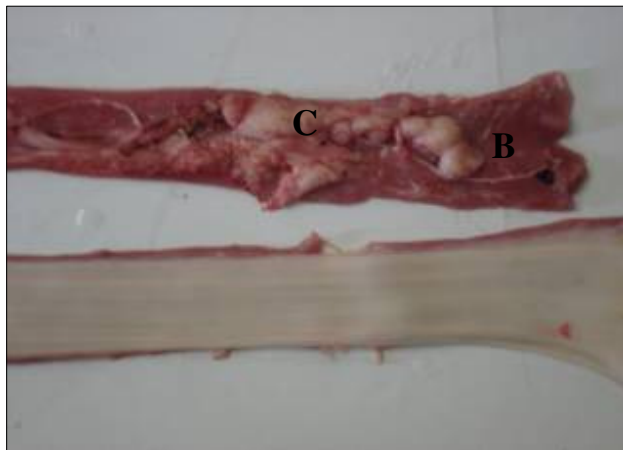
تصنيف الأفة	نوع الأفة	رمز الأفة ضمن البحث	عدد العينات الحاوية على الأفة	الحالات المصابة	النسبة المئوية لظهور الأفة ضمن العينات المفحوصة	النسبة المئوية لظهور الأفة ضمن العينات المفحوصة	النسبة المئوية لظهور الأفة ضمن العينات المفحوصة
أضطرابات الأيض الخلوي	نخر زنker التكيس الفجوي الظهاري	Z V	١٧ ٧	٥١,٥ ٢١,٢	٢٣,٦ ٩,٧	٥١,٥ ٢١,٢	٩,٧
أضطرابات الدوران	الأنسلاخ الظهاري فرط الدم	E.S H	٢ ٢١	٦ ٦٣,٦	٢,٧ ٢٩,١	٦ ٦٣,٦	٢,٧
أضطرابات النمو	أنزفة منشرة فرط التنسج الظهاري	EX.H EP.H	١ ١٤	٣ ٤٢,٤	١,٣ ١٩,٤	٣ ٤٢,٤	١,٣
أضطرابات الخضاب	فرط التقلern فرط التنسج للنسج الضام	H.K CON.H	١٤ ٢	٤٢,٤ ٦	١٩,٤ ٢,٧	٤٢,٤ ٦	١٩,٤
الالتهاب	الحؤول الألتهاب الحمضي	M EOS	١ ٨	٣ ٢٤,٢	١,٣ ١١,١	٣ ٢٤,٢	١,٣
أضطرابات الخضاب	اليرقان	J	٧	٢١,٢	٩,٧	٢١,٢	٩,٧
الأصابات الطفيلية	الميلانية	MEL	١	٣	١,٣	٣	١,٣
	المكيسات العضلية	S	١٣	٣٩,٣	١٨	٣٩,٣	

العدد الكلي للعينات المفحوصة = ٧٢.

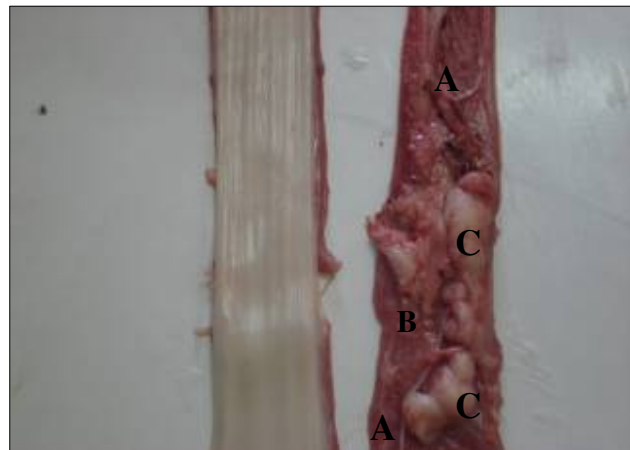
العدد الكلي للعينات المظهرة للافات المرضية = ٣٣.

النسبة المئوية لظهور الافات المرضية ضمن العدد الكلي للعينات المفحوصة = ٤٥%.

مجموع اعداد العينات المظهرة لكل نوع من الافات لا يمثل العدد الكلي للعينات المظهرة للافات المرضية بسبب ظهور اكثر من نوع من الافات في العينة الواحدة.

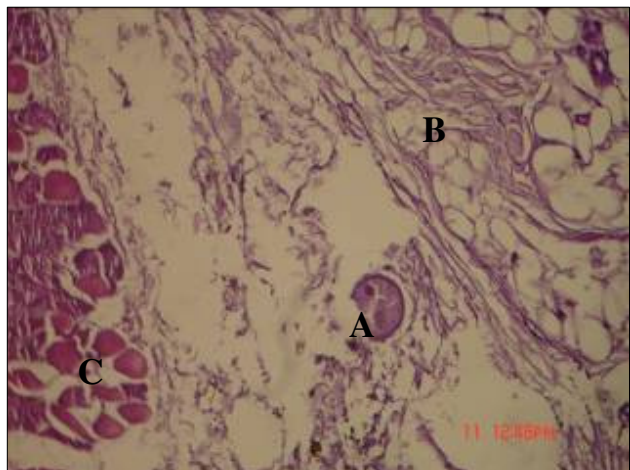


صورة (٤): صورة طولية للشكل السابق توضح الديدان الأسطوانية (A)، الاحتقان والأنسلاخ في مخاطية المريء (B) وتكاثر الكتل النسيجية (C) في عينة المريء إلى الأعلى مقارنة بمريء طبيعي إلى الأسفل.

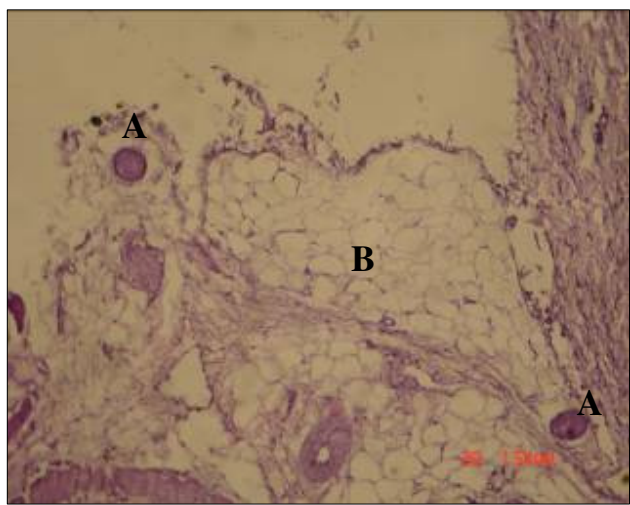


صورة (٣): عينتان مفتوحتان من مريء الأغنام، المريء على اليمين يظهر الإصابة بالديدان الأسطوانية (A)، إحتقان وإنسلاخ في مخاطية المريء (B)، ونکاثر كتل نسيجية بشكل أورام بيضاء اللون ملساء ورخوة من جدار المريء تمتد إلى الجوف المريئي (C).

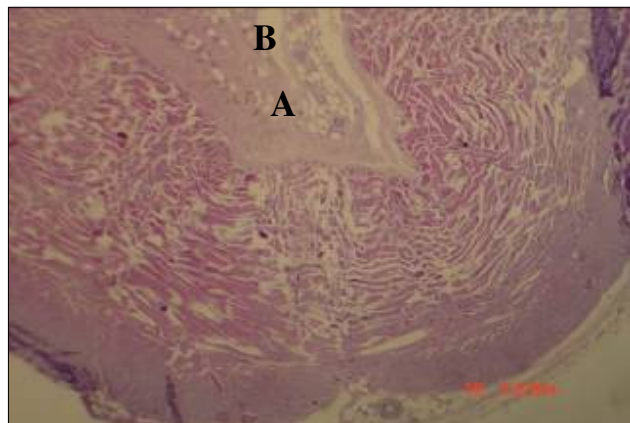
فرط التنسج الظهاري وفرط التقرن مع اليرقان، وكذلك بين فرط التنسج للنسيج الضام مع كل من الحؤول والميلانية. جدول (٤).



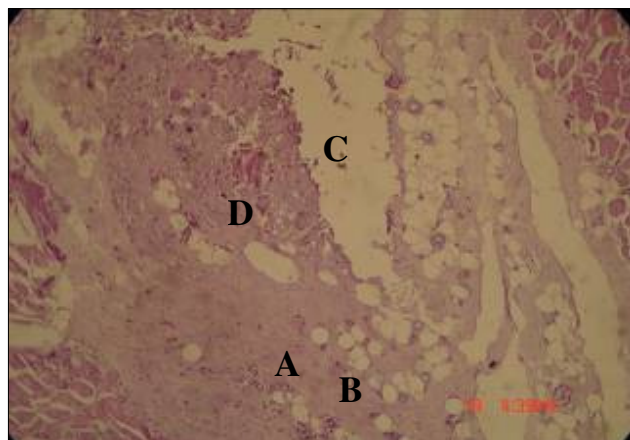
صورة (٧): مقطع في مريء الأغنام يوضح وجود مقطع عرضي لودة أسطوانية (A) في كثرة النسيج الضام المتكاثر من الطبقة تحت المخاطية والممتدة إلى الجوف المريئي (B). مع وجود نخر زنker في الألياف العضلية للمريء (C). الصبغة H&E قوة التكبير ١٦٥X.



صورة (٨): مقطع في مريء الأغنام يوضح وجود المقطع العرضي لدوتين أسطوانيتين (A) ضمن كثرة من النسيج المتكاثر من الطبقة تحت المخاطية ممتدة إلى داخل الجوف المريئي (B). الصبغة H&E قوة التكبير ١١٥X.



صورة (٥): مقطع في مريء الأغنام يوضح تكاثر وفرط تنسج النسيج الضام المكون من نسيج ليفي يتخلله نسيج دهني من الطبقة تحت المخاطية ويمتد إلى الجوف المريئي (A) مع انسلاخ الطبقة الظهارية (B). الصبغة H&E قوة التكبير ٤٦X.

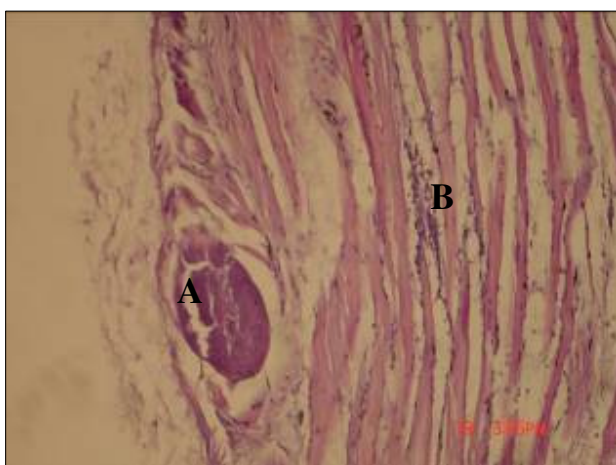


صورة (٦): مقطع في مريء الأغنام يوضح تكاثر وفرط تنسج النسيج الضام ممثلاً بنسج ليفي ونسج دهني من الطبقة تحت المخاطية لتكوين كثرة نسيجية ممتدة إلى داخل الجوف المريئي (A) وتحوي على عدد كبير من الأوعية الدموية حديثة التكوين (B) وإنسلاخ للطبقة المخاطية (C) مع وجود بقايا الطفيلي في مركز الأفة مع تكلسات (D). الصبغة H&E قوة التكبير ١٦٥X.

لقد أظهرت نتائج الارتباط بين أفات المريء في الأبقار وجود علاقة أرتباط عالية بين حدوث الميلانية والحوول وكذلك بين فرط التنسج الظهاري وفرط التقرن، وبين الأصابة بالمكيسات العضلية والالتهاب الحمضي، وبدرجة أقل بين نخر زنker وكل من فرط الدم واليرقان والأصابة بالمكيسات العضلية وكذلك بين التكبس الفجوي والانسلاخ الظهاري وبين كل من

جدول (٤): يوضح علاقة الارتباط بين الافتات المختلفة ضمن عينات المريء المصابة في الابقار (معبر عنها بمعامل الارتباط ومستوى المعنوية).

S	MEL	J	EOS	M	CON.H	H.K	EP.H	EX.H	H	E.S	V	Z		
** 0.4587	*** 0.1822	** 0.5033	**** 0.1586	**** 0.1822	***** 0.1150	***** 0.0966	**** 0.0966	*** 0.1822	** 0.6073	**** 0.2464	**** 0.0584	0.0 1.0	Z	
***** 0.1149	***** 0.0917	***** 0.0934	***** 0.0524	***** 0.0917	***** 0.0937	**** 0.1545	**** 0.3045	**** 0.0917	**** 0.2381	** 0.4895	0.0 1.0	V		
**** 0.2047	0.0449	0.1788	0.1436	0.0449	0.0803	0.2959	0.2959	0.0449	0.1920	**** 0.0	0.0 1.0	E.S		
*** 0.4805	**** 0.1336	**** 0.2241	*** 0.4276	*** 0.1336	**** 0.2390	**** 0.2665	**** 0.2665	0.1336	0.0 1.0	H	٣٣ - عدد العينات =		١ - القيم = معامل الارتباط	
**** 0.1425	0.0312	0.0917	0.1	0.0312	0.0559	0.1517	0.1517	0.0 1.0	EX.H	اعلى قيمة لمعامل الارتباط = ١			٢ - اقل قيمة لمعامل الارتباط = ٠	
**** 0.1901	0.2059	0.4544	0.0867	0.2059	0.1551	0.8759	0.8759	0.0 1.0	EP.H	٣ - مستوى المعنوية يظهر كالتالي:			غير موجود = الارتباط غير معنوي	
**** 0.0646	0.2059	0.4544	0.0867	0.2059	0.1551	0.0 1.0	H.K			٤ - ارتباط معنوي عند (P≤0.0001)			٠ = ارتباط كامل	
** 0.0392	0.5590	0.1640	0.0670	0.5590	0.0 1.0	CON.H				٥ - ارتباط معنوي عند (P≤0.01)			٠ = ارتباط معنوي عند (P≤0.05)	
*** 0.1425	1.0	0.0917	0.1	1.0	M					٦ - ارتباط معنوي عند (P≤0.05)			٠ = ارتباط معنوي عند (P≤0.5)	
*	***** 0.7016	***** 0.1	***** 0.1205	0.0 1.0	EOS					٧ - ارتباط معنوي عند (P≤0.8)			٠ = ارتباط معنوي عند (P≤0.8)	
**** 0.2663	0.0917	0.0	1.0	J						٨ - كلما اقترب معامل الارتباط من القيمة ١ وانخفضت مستوى المعنوية كانت علاقة الارتباط اعلى				
**** 0.1425	0.0	1.0	MEL							٩ - المرربعات المظللة تتمثل اعلى (١١) علاقة ارتباط بين الافتات				
0.0 1.0	S													

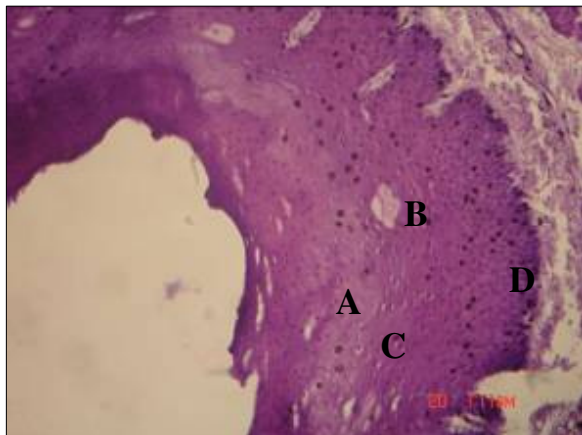


صورة (١٠): مقطع في مريء الأغنام يوضح وجود طفيلي المكيس العضلي Sarcocyst (A) في الطبقة العضلية الخارجية تحت الطبقة المصلية مع وجود التهاب العضلة الحمضية وأرتشاح الحمضات واللمفيات بين الألياف العضلية (B). الصبغة H&E قوة التكبير ١٦٥X.

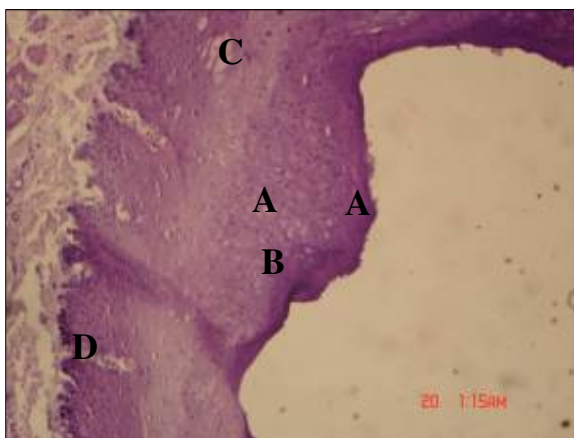


صورة (٩): مريء أغنام مصاب بطفيلي Sarcocyst تظهر مكيسات الطفيلي تحت الغشاء المصلي للمريء بشكل حبات الرز المطبوخة (A).

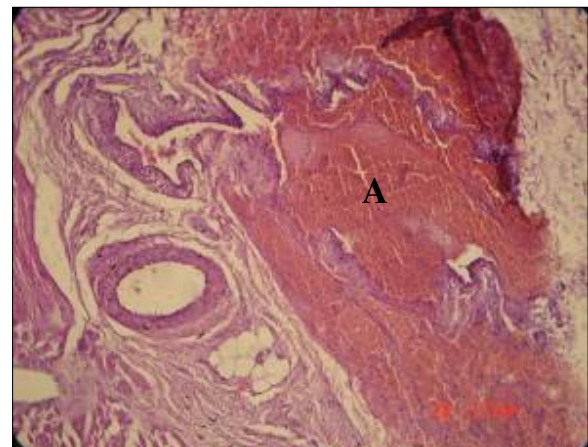
عما لوحظت عليه عند الأبقار وفي المقابل سجلت بعض الأفات المرضية كالتكلس الفجوي الظهاري وفرط التنسج الظهاري نسب ظهور أعلى عند الأبقار مما ظهرت عليه عند الأغنام، فضلاً عن وجود التباين بشكل كبير في علاقة إرتباط الأفات مع بعضها بين كل من الأغنام والأبقار (جدول ٥).



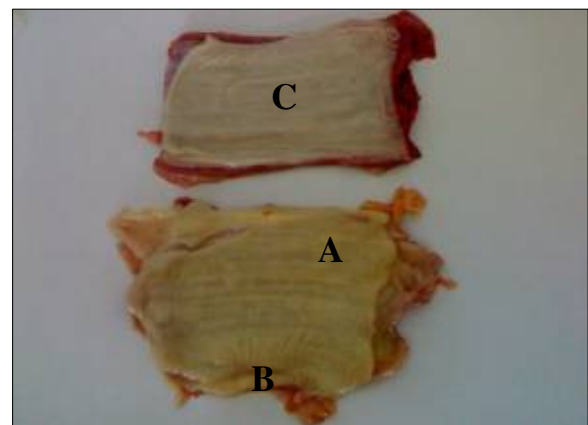
صورة (١٣): مقطع في مريء الأبقار يوضح الحؤول متمثلاً بتكاثر الأرومات الليفية والألياف الكولاجينية ضمن طبقة الخلايا الظهارية (A) وظهور الأرومات الغضروفية (B) والتخلص الفجوي الطفيف في الخلايا الظهارية (C) وأنشار الخلايا الحاملة للميلانين Melanophore ضمن الطبقة الظهارية (D). الصبغة H&E قوة التكبير 165X.



صورة (١٤): مقطع في مريء الأبقار لنفس العينة السابقة توضح التليف ضمن طبقة الخلايا الظهارية (A) والتخلص الفجوي (B) وتكون الأرومات الغضروفية (C) وتكاثر الخلايا حاملة الميلانين عند الطبقة المولدة للخلايا الظهارية (D). الصبغة H&E قوة التكبير 165X.



صورة (١١): مقطع في مريء الأبقار يوضح التزف المنتشر(A) في الطبقتين المخاطية وتحت المخاطية. الصبغة قوة التكبير X.90E H&E



صورة (١٢): عينتان من المريء للأبقار، العينة في الأسفل تظهر البرقان وأصفار الغشاء المخاطي (A) وزيادة في سمك الطيات المخاطية (B) مقارنة بالعينة الطبيعية في الأعلى (C).

لقد أظهرت النتائج وجود تباين في أنواع الأفات المرضية الملاحظة في المريء بين الأغنام والأبقار حيث أن بعض الأفات كالأنزفة الحبرية والوذمة والأصابة بالديدان الأسطوانية قد لوحظت في الأغنام بينما لم تلاحظ في الأبقار، في حين سجلت أفات أخرى كفرط التقرن والحوول والميلانية في الأبقار دون أن تلاحظ في الأغنام. وأظهرت معظم الأفات المرضية التي لوحظت في الجنسين تبايناً في نسب الأصابة بدرجات مختلفة حيث أن بعض الأفات كانت زنكر والأنسالاخ الظهاري وفرط تنسج الضام والالتهاب الحمضي والبرقان والأصابة بالمكيسيات العضلية ظهرت بنسب أعلى عند الأغنام

جدول (٥): يبين أنواع الأفات ونسب حدوثها وأكثر الأفات أرتباطاً بها في كل من الأغنام والأبقار.

تصنيف الأفة	نوع الأفة	الأغnam				الأبقار
		النسبة المئوية لظهور الأفة ضمن العينات المصابة	النسبة المئوية لظهور الأفة ضمن العينات أرتباطاً (رمزاً)	أكبر الأفات ضمن العينات أرتباطاً (رمزاً)	النسبة المئوية لظهور الأفة	
أضرابات الأيض	خر زنker	٦٠,٩	٢٣,٦	H , J , S
الخلوي	التكس الفجوي الظهاري	٢,٢	E.S , O , EP.H	E.S	٩,٧	E.S
أضرابات الدوران	الأسلام الظهاري	٨,٢	V , P.H,O ,CON.H,N	V	٢,٧
أضرابات النمو	فرط الدم	٣٤,٥	EOS , S	EOS , S	٢٩,١
الأنهاب	أنزفة حبرية	٢,٢	N , O , CON.H
الأنهاب	أنزفة منتشرة	١,٥	١,٣
الأنهاب	الوذمة	١,٥	V , E.S , EP.H
الأنهاب	فرط التنسج الظهاري	٣	V , O	H.K , J	١٩,٤
الأنهاب	فرط التقرن	EP.H , J	١٩,٤
الأنهاب	فرط التنسج للنسج الضام	٦,٧	E.S , N	M , MEL	٢,٧
الأنهاب	الحول	CON.H , MEL	١,٣
الأنهاب	الأنهاب الحمضي	٢٧,٨	H , S	H , S	١١,١	Z , EP.H , H.K
الأنهاب	البركان	٢٣,٣	H , S	٩,٧
الأنهاب	الميلانية	M , CON.H	١,٣
الأنهاب	المكيسات العضلية	٤٣,٦	H , EOS , J	EOS , Z	١٨
الأنهاب	الديدان الأسطوانية	٤,٥	E.S , P.H , CON.H

يجعلها أكثر تماساً مع البيئة الخارجية من الأبقار وأكثر عرضة للعدوى بسبب كثافة الأعداد في القطيع.

إن هذه الفرضية ربما يؤيدتها ظهور نسب عالية لبعض الأفات المرضية في الأغنام أعلى مما لوحظ عليه عند الأبقار كخر زنker والذي يرتبط مع حدوث النقص الغذائي لفيتامين E وعنصر السيلينيوم (١١). وكذلك البركان الذي قد يرتبط بالقصور الكبدي ولكن يرتبط بشكل أكثر شيوعاً عند الحيوانات الحقلية بحدوث فقر الدم الأنحلالي Hemolytic anemia الذي قد ينتج عن بعض الأصابات الجرثومية كالبريميات والأوالي كالبابيزيا والأنابلازما والتسمم بعناصر النحاس والسلينيوم وبعض النباتات السامة أصابة إلى الأنسداد في القنوات الصفراوية الذي قد تسببه الطفيليات كديدان الكبد (٥)، كما أن ظهور الأصابات الطفيلية كداء المكيسات العضلية بنسبة عالية عند الأغنام مقارنة بالأبقار وكذلك ظهور الأصابة بالديدان الأسطوانية عند الأغنام قد تدل بشكل غير مباشر على تماس الأغنام بالمراعي والبيئة الخارجية أكثر من الأبقار وإن هذه النسب المرتفعة للأصابات الطفيلية عند الأغنام ربما تفسر ظهور الاستجابة الانهابية المزمنة متمثلة بالتهاب عضلات

المناقشة

أظهرت نتائج الدراسة أن النسبة الكلية لظهور الأفات المرضية المختلفة في المريء عند الأغنام هي أعلى من نسبة ظهورها في الأبقار، بالرغم من ما يعرف عن السلوك الغذائي لهذين النوعين بكون الأبقار غير انتقائية التغذية في حين أن الأغنام عالية الانتقائية في تناول الغذاء (٩)، مما يفترض أن تكون الأغنام أقل عرضة لتناول الأجسام الغربية والشوائب التي تتسبب بالجروح والأنهابات في الجهاز الهضمي، وقد يعود السبب في ذلك إلى التفاوت في توفير الظروف الصحية ونوع الغذاء المقدم لكل من الأغنام والأبقار، حيث إن من المعروف أن معظم الأبقار المذبوحة ضمن هذه الأعمار هي من عجول التسمين التي يتم تربيتها بطريقة خاصة توفر فيها أعلاف مركزية وأصناف غذائية متكاملة وتلائم ضد الأمراض السارية (١٠)، مما قد يستبعد الأفات الناتجة عن الأجسام الغربية والنقص الغذائي والعديد من الأمراض المعدية، في حين أن الأغنام قد لا تحظى بهذه العناية حيث تعتمد معظمها على الرعي في المراعي المكتوفة ضمن قطعan كبيرة (١٠) مما قد

Hepatic muscle actin في الخلايا النجمية الكبدية Smooth muscle stellate cells والذي يسرع من عملية الالئام من خلال تحفيز تصنيع الألياف الكولاجينية عند أحداث الخمج تجربياً في الفئران.

لقد سجلت بعض الأفاف نسب ظهور أعلى في الأبقار فقد لوحظ وجود نسبة أعلى للتكتن الفجوي الظهاري عند الأبقار أعلى مما لوحظ عند الأغنام، وبالرغم من التنويع الكبير في أسباب حدوث هذا التغير المرضي الطيفي كنقص الأوكسجين Hypoxia والتسمم المزمن ببعض المركبات الكيميائية وبعض العوامل الفيزيائية والأصابة بالحمات (١٢). إلا أن السبب في اختلاف النسبة قد يعود إلى التعرض لبعض العوامل الفيزيائية والكيميائية بسبب عدم الانقائية الغذائية عند الأبقار كما أن العديد من الأمراض السارية المستوطنة والتي تسببها الحمات كالطاعون والحملة الفلاحية والنزلة البقرية الخبيثة والأسهال الحموي البكري واللسان الأزرق يمكنها أحداث أفاف مشابهة في ظهارة الجهاز الهضمي حتى مع وجود معيار مناعي جيد ضدها (١٥). وبالرغم من أن الأنسلاخ الظهاري غالباً ما يرافق حدوث التكتن الفجوي (١٢) إلا أنه سجل نسبة ظهور أعلى عند الأغنام ربما بسبب إرتباطه بالأصابة بالديدان الأسطوانية في عدة عينات من عينات الأغنام المفحوصة.

لقد سجل فرط التنسج الظهاري وفرط التقرن بنسبة عالية عند الأبقار مقارنة بالأغنام وغالباً ما تحدث هذه الأفاف بسبب نقص فيتامين A أو التسمم المزمن بمركبات النفالين المكلور Chlorinated naphthalene toxicity كما يمكن أن تحدث في المريء بشكل بؤر موضعية Parakeratosis كنتيجة لنقص عنصر الزنك (٤). لذا يمكن أن يعزى ذلك إلى نقص فيتامين A عند عجول التسمين نتيجة لنقص الأعلاف الخضراء أو ربما استخدام مركبات النفالين المكلور كمبادات حشرية ورشها في حظائر التربية. لقد لوحظ الحؤول في التنسج الضام في الطبقة تحت المخاطية في عينة واحدة عند الأبقار وقد يعزى وجودها إلى ألطرايات تطورية Developmental anomalies أو كاستجابة لتحديش الطبقة المخاطية في المريء (٤) أما الميلانية فهي حالة وراثية لا ترتبط غالباً بوجود مسبب مرضي بيئي (١٣). ولم يلاحظ وجود فروق كبيرة في ظهور التزف المنتشر ضمن جدار المريء بين الأبقار والأغنام والذي ربما يكون سببه الكدمات والكلم الذي تتعرض له الحيوانات أثناء عملية النقل والذبح مما قد يحدث التزف في المريء.

شكر وتقدير

أتقدم بالشكر والتقدير لعمادة كلية الطب البيطري ورئيسة فرع الأمراض وأدارة مجزرة الموصل للتسهيلات التي قدموها لأنجاز البحث وأنقدم بشكر خاص للدكتور أيمن عبدالله الحيالي لمساعدته القيمة في جمع عينات التجربة.

المريء الحمضي الذي يظهر متراافقاً مع فرط الدم ومتناهياً بارتشاح الحمضات واللمفيات بين حزم الألياف العضلية وبنسبة أعلى مما لوحظ عند الأبقار، وهذه النتائج تتطابق ما ذكره العديد من الباحثين حول أن الأصابة بداء المكيسيات العضلية في العضلات الأردية لمريء الأغنام تحدث أستجابة التهابية متمثلة بالتهاب العضلات الحمضي (٤)، وأشار باحثون آخرون أن الأصابة بهذا الطيفي في الأبقار تؤدي إلى التهاب العضلات الحمضي وأن السبب في ذلك قد يعود إلى أفراد الطيفي لسموم داخلية تعرف بالساركوسين Sarcocystin أو ما يطلق عليها بالسموم العضلية Sarcotoxin والتي تتحرر في العضلات وخاصة عند تمزق جدار الطيفي لتحدد هذا النوع من الالتهاب (١٢)، وإن وجود الأنفحة الحضرية والونمة في عدد قليل من العينات يمكن أن تكون مصاحبة في كثير من الأحيان للأستجابة التهابية (١٣).

لقد لوحظ كذلك فرط التنسج وتکاثر النسيج الضام من الطبقة تحت المخاطية للمريء متمثلاً بتکاثر نسيج ليفي يتخلله نسيج دهني متراافقاً مع الإصابة بالديدان الأسطوانية في الأغنام ليكون كتلاناً نسيجية متعددة إلى الجوف المريئي مع أنسلاخ للطبقة المخاطية في عدة عينات تظهر هذه الأفة، في حين أن فرط التنسج للنسيج الضام لوحظ في الأبقار بشكل طفيف ضمن الطبقة تحت المخاطية بشكل شخن ولم يشكل كتلاناً بارزة. إن ظهور هذه الأفة بهذا الشكل عند الأغنام قد يعود إلى الأصابة الملاحظة بالديدان الأسطوانية، وبالرغم من أنه لم يتم تصريف الملاحظة بالديدان الأسطوانية، وهناك أنواع الديدان الأسطوانية تصيب المريء عند الأغنام كجنس Gongylonema وأحد أنواعها Gongylonema pulchrum والتي تصيب أضافة للأغنام أنواع أخرى من المجترات والخنازير وهناك أنواع أخرى من الديدان الأسطوانية تصيب المريء عند الكلاب والقطط كجنس Spirocerca lupi (٤) والتي بدورها لها القدرة على أحداث تفاعل ورمي حبيبي Granuloma في الأعضاء التي تصيبها هذه الطفيليات كالأبهر والمريء والرئتين وبشكل خاص تسبب أحداث الأورام الحبيبية في جدار المريء بالإضافة إلى قدرتها على أحداث أنواع أخرى من الأورام كالغرن الليفي والغرن العظمي في الرئتين (٤). أن هذه الطفيليات تكون مطمورة في داخل الجدار المريئي في الطبقة تحت المخاطية وقد تسبب تکاثر النسيج الضام وفرط التنسج عند طريق تحفيز الأرومات الليفية من خلال التخديش المستمر للأنسجة المجاورة أو من خلال أفراد عوامل كيميائية كعوامل النمو Growth factors، حيث ذكر الباحثون (١٤) أن الدودة الأسطوانية Toxocara canis المحدثة لالتهاب الكبد الورمي الحبيبي في الكلاب تحفز تکاثر الأرومات الليفية وإنتاج الألياف الكولاجينية من خلال تحفيز أفراد عامل النمو Transforming growth factor-beta 1 (TGF-B1) من كريات الدم البيضاء المرتسبة حول الطيفي كما أنها تحفز تصنيع المركب - α

المصادر

9. Staff O. Grazing management: Animals as Grazers.Ontario. 2004.
Available from: <http://www.omfra.gov.on.ca/english/crops/pub194 grazers.htm>
١٠. غزال، نجيب توفيق، عبدالله، راضي خطاب، محمد علي، ناهل.
مباديء الإنتاج الحيواني. دار الكتب للطباعة والنشر، جامعة الموصل.
الطبعة الأولى. ١٩٧٩.
11. Beytut E , Karatas F , Beytut E. Lambs with white muscle disease and selenium content of soil and meadow hay in the region of kars , Turkey. Vet J. 2002;163 (2):214-217.
12. Foreyt WJ, Parish SM, Leathers CW. Bovine sarcocystosis: How would you handle an outbreak. Vet Med 1986; 81:275-279.
13. Kumar V, Cotran D, Robins Md. Basic pathology. 6th ed. Philadelphia: W.B. Saunders Company ;1997.
14. Ming-Shun W, Chien-We WYD, Ting-Chang ES, Yun-Ho L, Chu-Chia-Kwang F. Enhanced expression of transforming growth factor -B1 in inflammatory cells , α -smooth muscle actin in stellate cells and collagene accumulation in experimental granulomatous hepatitis caused by *Toxocara canis* in mice. Acta Tropica. 2008;105:260-268.
١٥. السلطان، عماد أبراهيم، السعدي، حافظ أبراهيم، الدراجي، علي مجید.
علم الأمراض البيطرية الخاص. مديرية الكتب للطباعة والنشر. جامعة
الموصل. ١٩٨٧.
1. Habel RE. Ruminant digestive system. Getty , R. The anatomy of the domestic animals.Vol 1. 5th Ed.WB Saunders Company.1975: pp. 881-884.
2. Aughey E , Frye FL. Comparative veterinary histology with clinical correlates. 1st Ed.Manson Publishing/Veterinary Press. 2001:pp. 105-106.
3. Crowin, EJ. Handbook of pathophysiology. 2nd Ed. Lippincott Williams & Wilkins. 1999: pp.540.
4. Brown CC, Barker DC, Barker IK. Alimentary system. Jubb , KVF , Kennedy PC, Palmer N. Pathology of domestic animals.Vol 2. 5th Ed. Saunders Elsevier. 2007: pp.35-41.
5. Radostits OM, Gay CC, Blood DC, Hinchcliff KW. Veterinary medicine: A textbook of the diseases of cattle , sheep , pigs , goats and horses. 9th Ed. W.B. Saunders Company Ltd. 2000: pp.192-195.
6. Luna LG. Manual of histologic staining methods of the armed forces institute of pathology.3rd ed. McGraw-Hill book company.1968.
7. Sbiegel MR. Schaum's outline of probability and statistics. 2nd ed.McGrow-Hill , INC.2001: pp.297-350.
8. SAS Institute. SAS user's guide: Statistic version. 12th ed.(1996).SAS Institute INC , Cary , NC.